

57
AS9

АКАДЕМИЯ НАУК ЛАТВИЙСКОЙ ССР
ОТДЕЛЕНИЕ ХИМИЧЕСКИХ И БИОЛОГИЧЕСКИХ НАУК.

На правах рукописи

В.М.Берзинь

ВЛИЯНИЕ РЕПЛИКАЦИИ БАКТЕРИОФАГА MS2
НА БИОСИНТЕЗ РНК *ESCHERICHIA COLI*

(специальность 03.093 – биологическая химия)

Диссертация написана на русском языке

Автореферат
диссертации на соискание ученой степени
кандидата биологических наук

Рига 1972

АКАДЕМИИ НАУК ЛАТВИЙСКОЙ ССР
ОТДЕЛЕНИЕ ХИМИЧЕСКИХ И БИОЛОГИЧЕСКИХ НАУК

На правах рукописи

В.И. Берзинь

ВЛИЯНИЕ РЕПЛЮКАЦИИ БАКТЕРИОСАГА MS2 НА БИОСИНТЕЗ
РНК *ESCHERICHIA COLI*

(специальность 03.093 – биологическая химия)

Диссертация написана на русском языке

Автореферат
диссертации на соискание ученой степени
кандидата биологических наук

Рига 1972

A 50

Диссертационная работа выполнена в ордена Трудового Красного Знамени Институте органического синтеза Академии наук Латвийской ССР.

Научный руководитель: доктор химических наук З.Я. ГРЕН

Официальные оппоненты:

доктор биологических наук, профессор В.И. АГОЛ
кандидат биологических наук В.П. ДОМА

Ведущее научно-исследовательское учреждение:
Институт химии природных соединений им. Н.Н. Вешникова
Академии наук ССР

Автореферат разослан " 30 " 1972 года

Зщита диссертации состоится " 22 " июня 1972 года

на заседании Объединенного ученого совета по биологическим наукам при Отделении химических и биологических наук Академии наук Латвийской ССР.

Просим ознакомить специалистов с авторефератом и прислать отзывы в двух экземплярах с подписью, заверенной печатью учреждения, по адресу: г. Рига, ул. Тургенева, 19, Отделение химических и биологических наук АН Латвийской ССР.

С диссертацией можно ознакомиться в Фундаментальной библиотеке АН Латвийской ССР (г. Рига, ул. Комунала, 4).

Ученый секретарь Совета
кандидат сельскохозяйственных наук

М. Зарубина
Ч.П. Зарубина

Заражение клеток *E. coli* РНК-содержащими бактериофагами, в отличие от Т-четных ДНК-фагов, не приводит к полному подавлению биосинтеза ДНК, РНК и белка *E. coli* сразу же после инфекции. Однако, во время интенсивной репликации РНК-содержащие фаги оказывают определенное тормозящее воздействие на матричный биосинтез хозяина, степень и избирательность которого, согласно литературным данным для различных фагов, может меняться в весьма широких пределах.

Было установлено, что синтез рибосомальной РНК и рибосом подавляется после инфекции бактериофагами R17, R23 и ZIK/I (Ellis, Paranchych, 1963; Hudson, Paranchych, 1967; Igarashi et al., 1970; Watanabe, Watanabe, 1971; Knolle, 1967; Bishop, 1965, 1966).

Уровень тРНК в клетках понижается при заражении *E. coli* фагами R23, ZIK/I и Q₈ (Watanabe, Watanabe, 1971; Bishop, 1966; Hung, Overby, 1968) но остается без изменений в случае R17 и M92 (Hudson, Paranchych, 1968; Igarashi et al., 1970; Hau et al., 1967). Синтез ДНК *E. coli* несколько уменьшается в результате фагового заражения, хотя свидетельствующие об этом данные не всегда достаточно убедительны (Cooper, Zinder, 1962; Granboulan, Franklin, 1966; Watanabe, Watanabe, 1971). Синтез непосредственно мРНК в зараженных клетках ранее не был изучен - косвенные исследования индукции синтеза β-галактозидазы привели к противоречивым выводам (Watanabe, Watanabe, 1970; Watanabe et al., 1968; Sugiyama, Stone, 1968).

Маловероятно, чтобы близкие как по структуре, так и по механизму репликации РНК-содержащие фаги проявляли бы столь существенные различия в своем воздействии на матричный биосинтез хозяина. Разнообразие данных, полученных различными авторами, вызвано, по-видимому, применением не всегда наиболее чувствительных и однозначных методов исследования.

Для определения истинного характера воздействия репликации РНК-содержащих бактериофагов на биосинтез клеточной ДНК и РНК нами были проведены комплексные исследования на примере фага M92, включавшие:

I. Изучение скорости синтеза ДНК и общей РНК в клетках

E. coli, зараженных бактериофагом M32.

2. Исследование влияния инфекции M32 на синтез тРНК, функциональную активность тРНК и аминокислот-тРНК синтетаз клетки-хозяина.

3. Изучение синтеза клеточной мРНК и рРНК во время интенсивной репликации бактериофага M32.

I Скорость синтеза ДНК и РНК в клетках *E. coli*, зараженных бактериофагом M32

Характер синтеза ДНК в зараженных фагом M32 клетках *E. coli* был изучен при помощи кратковременной (5 мин.) метки ДНК ^{14}C -тимидином (рис. 1).

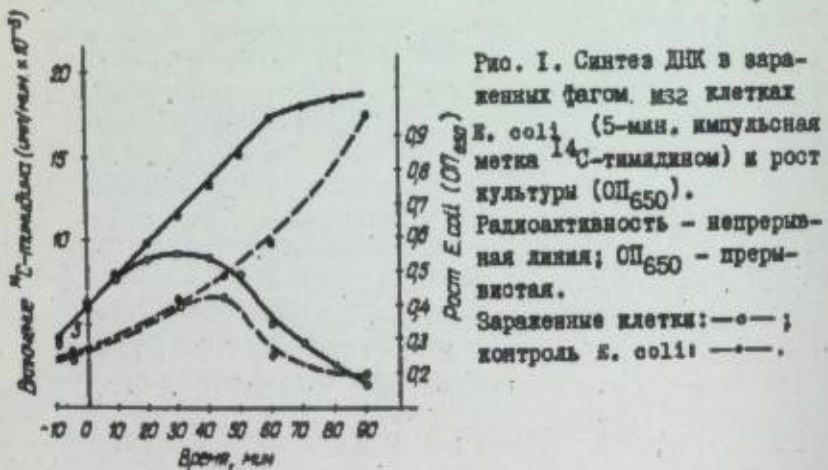


Рис. 1. Синтез ДНК в зараженных фагом M32 клетках *E. coli* (5-мин. импульсная метка ^{14}C -тимидином) и рост культуры (ОП₆₅₀). Радиоактивность — непрерывная линия; ОП₆₅₀ — прерывистая.
Зараженные клетки: --- ; контроль *E. coli*: - - - .

Скорость включения меченого предшественника в ДНК не претерпевает заметных изменений по сравнению с контролем почти до 30-й мин. инфекции, что свидетельствует об отсутствии фагоспецифического торможения синтеза ДНК в зараженных клетках на данном эта-

пе инфекции (рис. I). Это в какой-то степени подтверждается и нормальным ростом культуры вплоть до 40-й мин. инфекции (рис. I). Литературные данные, в свою очередь, также свидетельствуют о слабо выраженным торможении синтеза ДНК в клетках *E. coli* после заражения их фагами R23 (Watanabe, Watanabe, 1971) и f2 (Cooper, Zinder, 1952). Замедление синтеза ДНК после 30-й мин., распространяющееся неспецифически и на другие виды матричного биосинтеза, в том числе на синтез РНК (рис. 2,3) и белка, очевидно, связано с истощением биосинтетических ресурсов клетки и начинаящимся лизисом бактерий (ОП₆₅₀).

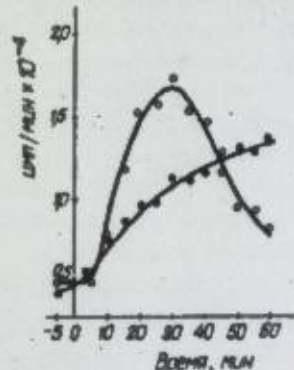


Рис. 2. Скорость синтеза РНК в зараженных бактериофагом M32 клетках *E. coli*. 4-мин. импульсная метка ^{14}C -урацилом; зараженные клетки: --- ; контроль: - - - .

В отличие от *E. coli*, в зараженной культуре, начиная с 15-й минуты инфекции, заметно возрастает скорость включения ^{14}C -урацила, достигая максимума на 30-й минуте, после чего она постепенно падает. Естественно предположить, что отрезок времени, характеризуемый ускоренным включением ^{14}C -урацила в зараженных клетках (рис. 2), является периодом интенсивного синтеза фагоспецифичных РНК. Последующее же замедление включения ^{14}C -урацила означает завершение синтеза основных структурных элементов фага и начинаящейся лизисом культуры.

Использование антибиотикаrifampicin, который подавляет синтез клеточных РНК, ингибиту ДНК-зависимую РНК-полимеразу *E. coli* (Sippel, Hartman, 1968), но не влияет на синтез фаговой РНК (Грома-

gact, Zinder, 1968), позволяет выявить изменения скорости синтеза исключительно фагоспецифической РНК во время репликации бактериофага М32.

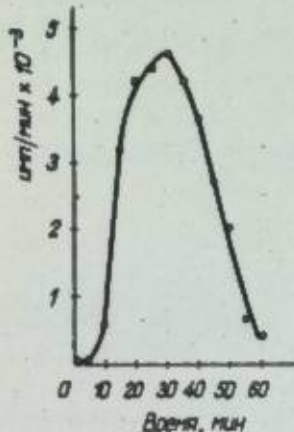


Рис. 3. Скорость синтеза фагоспецифической РНК в зараженных клетках, обработанных рифамицином.

4-мин. импульсная метка ^{14}C -урацилом с одновременным добавлением рифамицина (100 мкг/мл).

Данные приведены с коррекцией на включение ^{14}C -урацила в клеточных РНК.

Скорость синтеза фаговой РНК в этом случае также нарастает до 30-й мин. (рис.3), что позволяет с достаточной уверенностью рассматривать увеличение скорости включения ^{14}C -урацила, наблюдаемое в необработанных рифамицином зараженных клетках *E. coli* (рис.2), как результат интенсивного синтеза фагоспецифической РНК.

Из вышеуказанных данных видно, что включение ^{14}C -урацила в зараженных клетках неравномерно и непропорционально по сравнению с включением предшественника в незараженных клетках, хотя скорость деления клеток до 40-й мин. инфекции практически одинакова в обоих случаях.

Были проведены исследования, показывающие, что увеличение скорости включения ^{14}C -урацила в зараженных клетках, достигающее максимального значения на 30-й мин. инфекции, не является результатом нарушения проницаемости клеточной мембраны после

инфекции. Это явление не вызвано также различиями нуклеотидных составов М32 РНК и РНК *E. coli*, так как подобная картина наблюдается при включении как ^{14}C -гуанина, так и ^{14}C -урацила.

Следовательно, клетки *E. coli* в логарифмической фазе роста располагают дополнительным потенциалом синтеза РНК, используемым при репликации фаговой РНК. Однако, это не означает, что в зараженных клетках синтез фаговой РНК просто накладывается на синтез клеточных РНК, продолжавшийся на уровне незараженных клеток. Далее будет показано, что, хотя в отношении РНК не реализуется принцип эквивалентного замещения клеточных синтезов фагоспецифическими, фаговая репликация приводит к определенным изменениям в синтезе РНК хозяина.

На основании приведенных данных можно сделать заключение, что наблюдаемое в зараженных клетках после 30-40-й мин. инфекции замедление скорости синтеза как фагоспецифической РНК, так и общей РНК и ДНК *E. coli* является результатом завершения синтеза основных структурных элементов фага, истощения биосинтетических ресурсов клетки и начинаящегося лизиса бактерий. Указанные эффекты, накладываясь на возможное избирательное действие фаговой репликации на матричный биосинтез хозяина, могут мешать его выполнению. Следовательно, специфическое воздействие фаговой репликации на биосинтез РНК *E. coli* должно быть выявлено на более ранних периодах инфекции, вероятнее всего, в районе 30-й минуты – во время интенсивного синтеза фаговой РНК.

II Влияние репликации фага М32 на биосинтез тРНК, функциональную активность тРНК и аминоацил-тРНК синтетаз

Биосинтез тРНК в зараженных бактериофагом М32 клетках *E. coli* исследовали, определяя радиоактивность чистой тРНК фракции, меченой ^{14}C -урацилом или ^{14}C -гуанином. Продолжительную метку тРНК ^{14}C -урацилом проводили до 40-й мин. заражения, предшественник добавлялся к культуре за 30 мин. до инфекции. Меткой такого рода пользовались с целью создания равномерного распределения

ния радиоактивности во вновь синтезированной после заражения тРНК. Одновременно была исключена возможность увеличения метки за счет обмена субтерминального цитозина в уже синтезированных до начала мечения тРНК, так как известная часть удалила в клетках *E. coli* превращается в цитозин (Mc Carthy, Britten, 1962). При кратковременной метке тРНК ^{14}C -гуанин присутствовал начиная с 25-й до 35-й мин. с последующим добавлением нерадиоактивного основания в инкубации до 40-й мин. инфекции. Полученные препараты тРНК подвергались проверке на чистоту с помощью электрофореза в 7,5% поликариламидном геле.

На табл. I приведены данные синтеза тРНК в зараженных фагом MS2 клетках. Как видно, включение предшественников ^{14}C -урацила и ^{14}C -гуанина в тРНК не подавлено по сравнению с контролем из незараженных клеток.

Таблица I

Синтез тРНК в клетках *E. coli*, зараженных бактериофагом MS2

Приведенные числа относятся к содержанию РНК, выделенной на 40-й мин. из 100 мл культуры, зараженной фагом MS2. Процессинговая метка ^{14}C -урацилом: -30-й по 40-й мин. инфекции. Кратковременная метка ^{14}C -гуанином - 25-35 мин. инфекции. Приведены данные трех независимых опытов. В скобках контроль (незараженные клетки *E. coli*)

Продолжительная метка ^{14}C -урацилом		Кратковременная метка ^{14}C -гуанином	
Суммарная РНК кмп/мин. $\times 10^{-5}$	тРНК кмп/мин. $\times 10^{-5}$	Суммарная РНК кмп/мин. $\times 10^{-5}$	тРНК кмп/мин. $\times 10^{-5}$
II5(II4)	7,80(8,10)	12,5(II,7)	1,33(I,I2)
II4(II0)	8,50(8,35)		
II9(II6)	8,88(8,70)		

Следовательно, синтез тРНК после инфекции фагом MS2 продолжается на нормальном, характерном для незараженного *E. coli* уровне.

В литературе имеются данные, указывающие на то, что синтез тРНК и аминоацил-тРНК синтетаз соответствует в целом скорости роста бактериальной культуры (Tze-Fei Wong et al., 1969; Neilonen et al., 1968) и количественные соотношения отдельных видов тРНК в клетке хорошо коррелируют с содержанием аминокислот в суммарном бактериальном белке (Yamane, 1965). На возможность перемен в содержании индивидуальных тРНК в клетке указывают изменения количественного состава изоакцепторных тРНК в разных условиях роста (Doi et al., 1968). Голодание по определенной аминокислоте избирательно уменьшает степень аминоацилирования соответствующей тРНК, но, по-видимому, не уровень ее синтеза (Morris, De Moss, 1965; Kaplan, 1969). В отдельных случаях найдено ускорение образования аминоацил-тРНК синтетаз в условиях рестрикции соответствующих им аминокислот (Nass, Neidhardt, 1967; Williams, Neidhardt, 1969). Однако, до сих пор не выяснено, соответствует ли синтез отдельных тРНК и аминоацил-тРНК синтетаз уровню использования соответствующих им аминокислот в биосинтезе белка и является ли такая регуляция строгой.

Клетки *E. coli*, зараженные бактериофагом MS2, представляют собой удобный объект исследования подобной регуляции, так как фаговая репликация вносит определенные изменения в скорость биосинтеза белка и в использование отдельных аминокислот для белкового синтеза, не влияя на общий уровень синтеза тРНК.

На поздних стадиях репликации наблюдается интенсивный синтез белка оболочки фага, составляющего 30-40% всех синтезированных зараженной клеткой белков (Sugiyama, Stone, 1968). Белок оболочки MS2 по своему аминокислотному составу отличается от суммарного белка клеток *E. coli*, что должно отразиться на эффективности использования отдельных аминокислот в биосинтезе белка. При сопоставлении определенного нами аминокислотного состава общего белка *E. coli* AB 259 Hfr 3000 и известного состава белка оболочки MS2 (Lin et al., 1967) выявились наиболее характерные в этом отношении аминокислоты: гистидин (не содержащийся в белке оболочки MS2), валин (содержащийся в нем в избытке) и лизин (с одинаковым содержанием в белках).

Об уровне использования каждой из этих аминокислот в биосинтезе белка судили по включению ^{14}C -аминокислот во времени, сопоставляя данные для незараженных и зараженных фагом MS2 клеток.

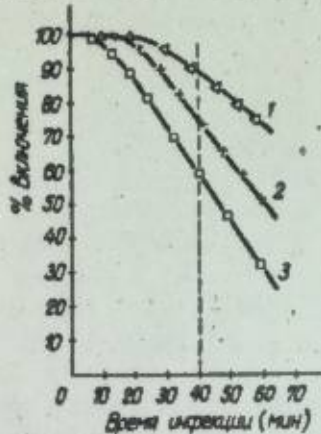


Рис. 4. Включение ^{14}C -аминокислот, присутствующих с начала инфекции в зараженных фагом MS2 клетках.
(1 - валин; 2 - лизин; 3 - гистидин).

Включение выражено в процентах от такого же в незараженных клетках (контроль).

Фаговая инфекция на поздних стадиях вызывает заметное уменьшение синтеза общего белка в клетках и одновременно изменяет пропорции использования отдельных аминокислот в биосинтезе белка, в соответствии с их содержанием в общем клеточном белке и фаговом белке оболочки (рис. 4).

Несмотря на заметные различия во включении ^{14}C -аминокислот - валина, лизина и гистидина - в зараженных и незараженных клетках, акцепторная активность выделенной из них тРНК одинакова. Как общая активность, так и пропорциональные соотношения между валин-, лизин- и гистидин-акцепторными активностями тРНК в зараженных клетках остаются без изменений (табл. 2).

Аналогичному анализу подверглись аминоацил-тРНК синтетазы, где определялась их активность в бесклеточном экстракте. Никаких различий в переносе валина, лизина и гистидина между препаратами аминоацил-тРНК синтетаз из зараженных и незараженных клеток не было обнаружено (табл. 3). В таблице приведены данные для неочищенных препаратов, но такие же выводы были сделаны и при анализе очищенных на ДЭЗ-целлюлозе ферментов.

Таблица 2

Акцепторная активность тРНК, выделенной из зараженных бактериофагом MS2 клеток *E. coli* на 40-й мин. после инфекции (микромоль связанный аминокислоты на 1 мг тРНК при 25°)

Аминокислота	Незараженные клетки (контроль)		Зараженные клетки 40-мин.
	0-мин.	40-мин.	
Гистидин	0,20	0,23±0,01	0,20±0,01
Лизин	1,31	1,51±0,11	1,47±0,09
Валин	0,69	0,76±0,02	0,74±0,02

Таблица 3

Активность аминоацил-тРНК синтетаз (неочищенный препарат I05000 кг супернатант), выделенных из зараженных бактериофагом MS2 клеток *E. coli* на 40-й мин. после инфекции

Аминокислота	Незараженные клетки (контроль)		Зараженные клетки 40-мин.
	40-мин.	40-мин.	
Гистидин	0,0185		0,0178
Лизин	0,430		0,440
Валин	0,251		0,259

Следовательно, уровень отдельных тРНК и аминоацил-тРНК синтетаз, установившийся в клетках *E. coli* логарифмической фазы, не претерпевает заметных изменений в результате заражения фагом MS2, хотя степень использования некоторых аминокислот в биосинтезе белка заметно меняется, особенно на поздних стадиях инфекции. Можно заключить, что уровень суммарной тРНК и соотношение отдельных ее видов не изменяются в новых физиологических условиях, вызванных заражением фагом MS2. Это делает вероятной гипотезу о констаттивном синтезе тРНК в клетках *E. coli*.

с сограждением характерного для данной бактерии соотношения индивидуальных тРНК. Пока еще нет убедительных доказательств, способных утвердить или опровергнуть данную гипотезу, однако весьма вероятно, что если синтез отдаленных видов тРНК действительно поддается регуляции, то ее связь с биосинтезом белка не является прямой или, по крайней мере, пропорциональной. Отсутствие ответной реакции со стороны аминокислот-тРНК синтетаз в условиях нашего эксперимента также указывает на отсутствие пропорциональной взаимосвязи их количества с эффективностью использования соответствующих им аминокислот в белковом синтезе.

II Синтез клеточных рРНК и мРНК во время интенсивной репликации бактериофага M22.

Согласно литературным данным, синтез рРНК *E.coli* заметно подавляется во время интенсивной репликации РНК-содержащих бактериофагов M17 (Hudson, Parrenbach, 1967; Igarashi et al., 1970), ZIK/I (Bishop, 1966), B23 (Katanabe, Watanabe, 1971). Следует отметить, что почти все данные были получены анализом РНК из зараженных клеток ультракардиоцентрифугированием в градиенте сахараозы, который не позволяет полностью разделить фагоспецифические и клеточные РНК, без чего нельзя с полной уверенностью судить о степени угнетения синтеза рРНК хозяина.

Более точным методом анализа рРНК является ДНК/РНК гибридизация с насыщением ДНК, фиксированной на мембранных фильтрах (Gillespie, Spiegelman, 1965). При изучении синтеза рРНК источником РНК для гибридизации служили зараженные клетки *E.coli*, в которых РНК метили ^{3}H -уранилом с 15-й по 25-ю мин. или с 25-й по 35-ю мин. инфекции, после чего в присутствии избытка нерадиоактивного уранила продолжали инкубацию до 40-й минуты. В качестве контроля служила РНК незараженных клеток *E.coli* в аналогичных условиях эксперимента. Избирательность гибридизации, т.е. связывание с ДНК практически только рРНК контролировалась методом конкурентной гибридизации с избытком немеченой рибосомальной РНК.

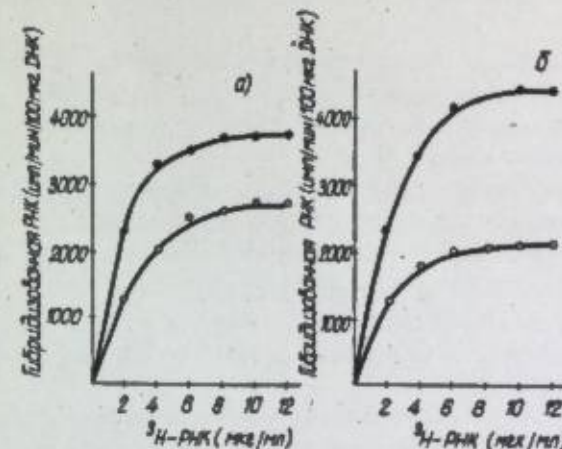


Рис.5. Гибридизация *E. coli* ДНК с ^{3}H -РНК из зараженных M22 (---) и незараженных (- - -) клеток *E. coli*. Продолжительная метка суммарной РНК ^{3}H -уранилом (2 мккюри/мл) на 15-25 мин. (а) или 25-35 мин. (б) после инфекции с последующей инкубацией с немеченым уранилом до 40-й мин. Гибридизацию ^{3}H -РНК проводили 5 часов при 67° в 1 мл буфера 6 х S30 (0,9 М NaCl, 0,09 М цитрат натрия, pH 7,0) на фильтрах HUPS, содержащих 40-45 мкг ДНК.

Как видно из рис. 5, характер кривых насыщения ДНК меченой РНК из зараженных клеток не отличается от контроля *E. coli*, но радиоактивность гибридизованной РНК заметно понижается в районе насыщения, что свидетельствует о более низкой удельной радиоактивности рибосомальной РНК, участвующей в гибридизации. Так как удельная радиоактивность общей рибосомальной РНК коррелирует с эффективностью ее синтеза за время метки, можно высчитать, что в зараженных клетках в период с 15 по 25-ю мин. инфекции рРНК образуется, по крайней мере, на 25% меньше, чем за то же время в незараженных клетках (рис.5а); в период же с 25

по 35-ю мин. после инфекции синтез рРНК уменьшается на 54% (рис.5c).

Следовательно, в период наиболее интенсивного синтеза фаговой РНК в зараженных клетках образование рибосомальной РНК холлина уменьшается более чем в два раза по сравнению с невзараженными клетками.

Распространяется ли подобное торможение специфически только на образование рибосомальной РНК или затрагивает также синтез клеточной мРНК - ответ на этот вопрос мог быть получен лишь в результате изучения синтеза мРНК в зараженных клетках.

В литературе имеются данные, которые как будто бы свидетельствуют о подавлении синтеза мРНК холлина на поздних стадиях репликации фагов R23, f2, C₆ (Watanabe, Watanabe, 1970) и MS2 (Sugiyama, Stone, 1968). Однако, они недостаточно убедительны, так как сделанные выводы основываются лишь на измерениях активности β -галактозидазы в клетке, где понижение активности фермента может быть результатом угнетения общего синтеза клеточных белков после заражения, а не предполагаемого подавления синтеза lac мРНК.

Для определения синтеза мРНК в зараженных фагом MS2 клетках *E. coli* нами были проведены эксперименты по гибридизации ДНК *E. coli* с импульсно меченой (1 мин.) ^{3}H -урацилом РНК - радиоактивный предшественник добавлялся к культуре на 30-й мин. инфекции (время максимальной скорости репликации фаговой РНК, рис.3).

Для обеспечения наиболее полного связывания всех видов клеточных РНК и ДНК в опытах использовались денатурация РНК формамидом (Mc Connough et al., 1969) и предложенный Кеннелем (Kephel, 1968) большой избыток ДНК в гибридизационной смеси ($\text{ДНК}/\text{РНК} > 200$), что позволило в случае *E. coli* РНК гибридизовать более 60% введенной РНК (рис. 6).

Гибридизуемая ^{3}H -РНК из зараженных клеток составляет 75% от контроля *E. coli*, что, с учетом одинаковой эффективности гибридизации, свидетельствует о подавлении синтеза РНК холлина на 30-й мин. (рис. 6).

Учитывая, что тРНК составляет незначительную часть гибриди-

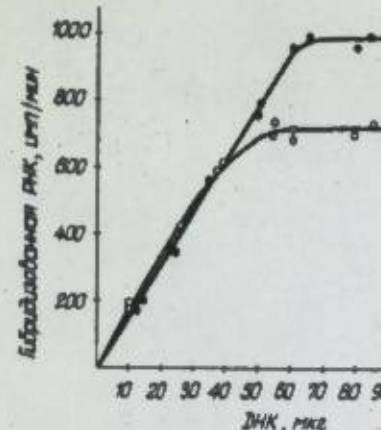


Рис.6. Гибридизация импульсно меченой ^{3}H -РНК.

Гибридизацию проводили 40 часов при 42° на фильтрах NUPR с указанным количеством ДНК, в 0,5 мл 48% формамид - 5 x SSC, содержащем 0,276 мкг ^{3}H -РНК (1550 имп/мин.) из контактных клеток *E. coli* (—●—) или 0,282 мкг ^{3}H -РНК (2700 имп/мин.) из зараженных фагом MS2 клеток (—□—).

РНК в клетках метили в течение одной минуты ^{3}H -урацилом на 30-й мин. инфекции.

зуемой РНК, и то, что заражение не затрагивает ее синтез, вопрос сводится к следующему: касается ли наблюдаемое угнетение синтеза обоих видов клеточных РНК (мРНК и рРНК), или репликация MS2 избирательно подавляет синтез лишь одного вида РНК.

Конкурентная гибридизация ^{3}H -РНК в присутствии возрастающих концентраций немеченой рибосомальной РНК (рис.7) в сопоставлении с данными, представленными на рис.6, позволила определить количество рРНК и мРНК в гибридизующейся РНК и сделать анализ состава суммарной РНК, синтезированной зараженными клетками на 30-й мин. инфекции (табл.4).

Из результатов, приведенных на табл. 4, следует, что содержание мРНК в общей гибридизуемой ^{3}H -РНК практически одинаково в обоих случаях (840 имп/мин. в препарате ^{3}H -РНК из зараженных фагом MS2 клеток, 870 имп/мин. - в контроле *E. coli*). Следовательно, репликация фага MS2 не влияет на биосинтез матричной РНК *E. coli*. Кроме того, приведенные результаты показывают снижение на 50% содержания рибосомальной РНК в суммарной гибридизуемой РНК.

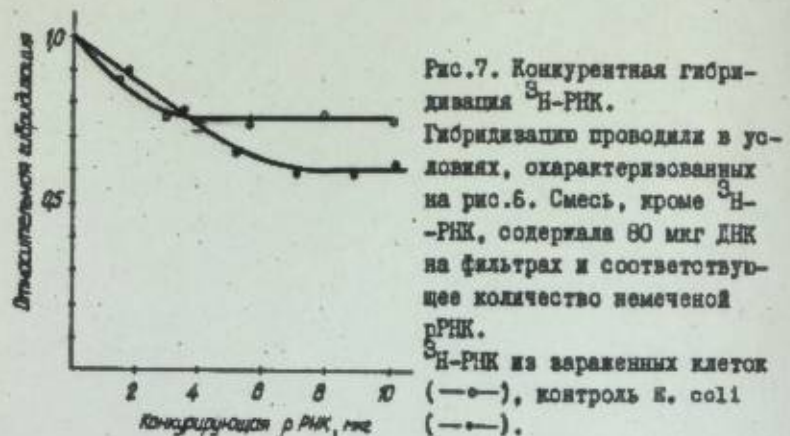


Рис.7. Конкурентная гибридизация ^{3}H -РНК.
Гибридизацию проводили в условиях, охарактеризованных на рис.6. Смесь, кроме ^{3}H -РНК, содержала 80 мкг ДНК на фильтрах и соответствующее количество немеченой РНК.
 ^{3}H -РНК из зараженных клеток (—○—), контроль *E. coli* (—●—).

Таблица 4

Состав РНК, выделенных из незараженных и зараженных бактериофагом MS2 клеток *E. coli* (по данным гибридизации)
(*) Количество тРНК - условное, вычислено с учетом ее содержания - 10% от количества пРНК

Вид РНК	Радиоактивность ^{3}H -РНК (имп./мин.)	
	незараженные клетки <i>E. coli</i>	зараженные фагом MS2 клетки
Суммарная РНК MS2 РНК, мРНК, пРНК, тРНК	-	2600
Гибридизованная мРНК, пРНК, тРНК РНК	1550	1200
пРНК	620	300
тРНК (*)	60	60
мРНК	870	840
MS2 РНК	-	1400

дизуемой РНК, выделенной из зараженных фагом MS2 клеток, по сравнению с аналогичным препаратом ^{3}H -РНК из незараженного *E. coli* что полностью подтверждает сделанный ранее вывод о подавлении синтеза рибосомальной РНК хозяина в зараженных клетках *E. coli* (рис.5).

Повышенное количество фаговой РНК, содержание которой определено по разнице между суммарной и гибридизуемой РНК зараженных клеток (с учетом эффективности гибридизации - 60%), дополнительно указывает на связь между увеличением скорости синтеза общей РНК в зараженных клетках (рис.2) и интенсивным синтезом РНК бактериофага MS2 (рис.3).

Таким образом, в зараженных фагом MS2 клетках *E. coli* фагоспецифическая РНК синтезируется с нарастающей скоростью, что приводит к увеличению скорости синтеза общей РНК в периоде 20-40 мин. после инфекции с максимумом на 30-8 мин., когда, по данным гибридизации, синтезированная фаговая РНК составляет 50% от общей РНК. Интенсивная репликация фаговой РНК сопровождается избирательным подавлением синтеза клеточной рибосомальной РНК, которой на 30-8 мин. инфекции образуется в два раза меньше, чем в незараженных клетках *E. coli*. Неизмененный синтез остальных видов РНК хозяина (мРНК, тРНК) свидетельствует об избирательности действия фаговой репликации, тормозящей биосинтез исключительно рибосомальной РНК в клетке. Это подавление, очевидно, предопределется уже на уровне регуляции синтеза пРНК, а не является результатом ускоренной деградации пРНК в зараженных клетках, так как опыты с продолжительной (рис.5б) и импульсной (табл.4) метками дают одинаковые результаты. Подавление синтеза рибосомальной РНК во время фаговой репликации можно обяснить двояко: 1) фаговая РНК или фагоспецифические белки являются специфическими репрессорами биосинтеза рибосомальной РНК; 2) торможение синтеза рибосомальной РНК является результатом конкуренции между фагоспецифическим и клеточным матричным биосинтезом за использование какого-либо дефицитного фактора хозяина. Имеющиеся в литературе данные (Travers et al., 1970) свидетельствуют в пользу второй возможности, ибо в случае РНК-содержащего бактериофага *Q₈* найдено, что фаговая

РНК-полимераза содержит в качестве одной из субединиц белковый фактор Ψ_g , который в незаряженных клетках *E. coli* стимулирует инициацию транскрипции локуса рибосомальной РНК клеточной ДНК-зависимой РНК-полимеразой.

Учитывая возможность существования аналогичного положения и в случае других РНК-содержащих бактериофагов, можно предположить, что в зараженных фагом M32 клетках, параллельно образование фагоспецифической РНК-полимеразы, уменьшается количество свободного фактора Ψ_g , в связи с чем стимуляция синтеза рибосомальной РНК снижается (рис.5). Инициация же синтеза других клеточных РНК (мРНК и тРНК) не требует участия фактора Ψ_g , и их синтез в зараженных клетках не подавлен.

Выводы

1. В отличие от Т-четных бактериофагов, полностью подавляющих биосинтез ДНК, РНК и белка *E. coli* сразу после инфекции, РНК-содержащий бактериофаг M32 лишь на поздних стадиях replication оказывает определяющее тормозящее воздействие на материнский биосинтез хозяина, причем это действие является избирательным.

2. Скорость синтеза ДНК в зараженных фагом M32 клетках не претерпевает заметных изменений до 30-й мин. инфекции. В результате эффективного синтеза фаговой РНК налицоается ускорение синтеза суммарной РНК по сравнению с незаряженными клетками с достижением максимальной скорости на 30-й мин. инфекции. Следовательно, клетки *E. coli* в логарифмической фазе располагают дополнительным потенциалом синтеза РНК, не используемым при нормальном росте.

3. Синтез тРНК в клетках *E. coli* не изменяется в результате replication фага M32 (содержание включенного ^{14}C -урацила и ^{14}C -гуанина в очищенных препаратах тРНК) и продолжается на уровне, характерном для незаряженных клеток *E. coli*.

4. Различия в аминокислотном составе суммарного клеточного

белка и фагового белка оболочки, образующегося в большом избытке в зараженных фагом M32 клетках, приводят к соответствующим изменениям в использовании аминокислот в биосинтезе белка. Это коррелирует с изменениями во включении ^{14}C -аминокислот – валина, лизина и гистидина – по сравнению с незаряженными клетками.

5. Несмотря на неодинаковую степень участия валина, лизина и гистидина в биосинтезе белка зараженными фагом M32 и незаряженными клетками *E. coli* функциональная активность соответствующих тРНК и аминоацил-тРНК синтетаз в обоих случаях одинакова. Таким образом, уровень синтеза отдельных видов тРНК и активность аминоацил-тРНК синтетаз строго не определяется эффективностью использования соответствующих им аминокислот в биосинтезе белка.

6. Replication фага M32 в клетках *E. coli* не влияет на синтез клеточной мРНК, образование которой в незаряженных и зараженных клетках (по данным ДНК/РНК гибридизации) на 30-й мин. инфекции протекает практически с одинаковой скоростью.

7. Уровень синтеза рибосомальной РНК в зараженных клетках *E. coli* на 30-й мин. инфекции составляет не более 50% ее синтеза незаряженными клетками (по данным ДНК/РНК гибридизации). Согласно предполагаемому механизму, в зараженных клетках, параллельно образование фаговой РНК-полимеразы, уменьшается количество свободного фактора Ψ_g , необходимого для инициации синтеза рибосомальной РНК.

Основные результаты диссертации изложены в следующих работах:

1. Берзинь В.М., Грен Э.Я.
"Устойчивость и обратимая инактивация аминокислот-тРНК синтетаз". Изв.АН ЛатвССР, 1971, № 6, 53.
2. Берзинь В.М., Грен Э.Я.
"Корреляция между включением ^{14}C -аминокислот и фагоспецифическим синтезом белка в клетках *E. coli*, инфицированных бактериофагом MS2".
Изв.АН ЛатвССР, 1971, № II, II5.
3. Берзинь В.М.
"Влияние репликации бактериофага MS2 на биосинтез ДНК и матричной РНК *E.coli*". Тезисы II конференции молодых ученых Института органического синтеза АН ЛатвССР, Рига 1972, 28.
4. Берзинь В.М., Грен Э.Я.
"тРНК и аминокислот-тРНК синтетазы в клетках *E.coli*, зараженных фагом MS2".
Молекулярная биология, 1972, 6, № 5.
5. Берзинь В.М., Грен Э.Я.
"Синтез стабильных РНК в зараженных бактериофагом MS2 клетках *E.coli*". Биохимия, 1972, 37, № 4.
6. E.Gren, G.Rosenthal, V.Berzin
"Effect of bacteriophage MS2 infection on protein and RNA synthesis in *Escherichia coli*"
Abstr.Commun. 7th Meet. Eur. Biochem. Soc., 1971, p.168.

Подписано к печати 25 апреля 1972 г.
АТ №5288 . Заказ №64 . Тираж 250
Бесплатно. Отпечатано на ротапринте
Института органического синтеза АН
Латв.ССР, г. Рига, ул. Августаус 21.